

解說
15-3-1

安實性判別을 為한 Parameter Plane Method

— Šiljak 의 論文을 中心으로 —

李亮秀*

1. 序論

制御理論은 安定性判別을 中心으로 發達하여 왔으며 制御工學 자체가 하나의 技術인 以上 安定判別法은 可能한限 그 表現이 簡單明瞭한 것을 要求하게 되었다. 過去에 研究되어 온 여러가지 安定判別法 등은 即 Routh 및 Hurwitz에 依한 方法, Nyquist 및 Michailov에 依한 方法等, 定性的方法과 Bode 및 Nichols에 依한 方法, Evans에 依한 Root locus 法, Bilharz 및 Frank에 依한 方法, Tsypkin 및 Bromberg에 依한 方法等, 定量의 인扳拔方法等이 研究發表되어 制御系統의 設計 및 解析에 利用되어 왔다. 그러나 設計者들은 制御系統의 安定性判別에만 興味를 갖는 것이 아니라 安定度判別 即 系統應答에 더 注意를 기우리게 된다. 特히 實時間應答에 對하여 明確한 解答을 要求한다. 從來의 方法中에 Evans에 依한 根軌跡法은 實時間應答을 圖面上에서 計算할 수 있으나 作圖에 힘이 들고 特히 作圖에 必要한 計算 即 特性方程式의 因數分解(結果의 으로 特性根을 求하는 問題임)가 困難하므로 이것이 問題로서 남아 있다가 半解析的方法으로 根軌跡을 作圖하는 方法^{1,2)}이 研究되긴 하였으나 이것은 한개의 Parameter 方法(Gain or Parameter)이며 Multiloop 系統에 適用하기가 困難한 點等이 있다. 한편 두개의 Parameter 方法으로서 Mitrovic의 方法이 있다^{3), 4), 5), 6)}. 이것은 Parameter Plane Method의 基礎를 이룬 것으로 特性方程式의 係數中에서任意의 두개를 Parameter로 하는 것이며 過渡應答 및 周波數應答을 求하는데 便利하나任意의 두개의 係數만을 Parameter로 하므로서 두개 以上的 Parameter가 存在하는 경우에는 不適當하다. 또한 우리나라에서도 試圖된 바가 있다⁷⁾. 이와 같은 것을 改善한 것이 Šiljak의 Parameter Plane Method^{8), 9), 10), 11), 12)}이며 이것을 여기에 紹介하고자 한다. 또한 再來式方法과 比較하여 그 優秀性을 檢討고자 하며 우선 複雜性을 避하기 為하여 連續線型 一變數制御系統에 關한 例題을 取扱기로 한다.

2. 基礎理論

Feedback 回路가 存在하는 制御系統의 特性方程式을

* 原子力研究所電子工學研究室·正會員

다음과 같은 形式으로 쓸 수 있다.

$$f(s) = \sum_{k=0}^m a_k s^k = 0 \quad (1)$$

但 $a_k(k=0, 1, 2, \dots, m)$ 는 實數이며 두개의 System Parameter α 와 β 의 函數이다. 即

$$a_k = a_k(\alpha, \beta) \quad (2)$$

이며 S 는 複素變數이다.

式(1)에서 特性方程式의 根을 一般的의 形式으로 다음과 같이 表現할 수 있다.

$$S = -\omega_n \zeta + \delta \omega_n \sqrt{1 - \zeta^2} \quad (3)$$

但 ω_n 는 Undamped natural frequency(無減衰自然振動數)이며 ζ 는 relative damping coefficient(相對感衰係數)이다. 그러면

$$S^k = \omega_n^k [T_k(-\zeta) + j\sqrt{1 - \zeta^2} U_k(-\zeta)] \quad (4)$$

여기서 $T_k(-\zeta)$: $U_k(-\zeta)$ 는 각각 第一 및 第二種 Chebyshev函數이며 다음과 같은 循環式에 依하여 求할 수 있다.

$$\left. \begin{aligned} T_{k+1}(\zeta) - 2\zeta T_k(\zeta) + T_{k-1}(\zeta) &= 0 \\ U_{k+1}(\zeta) - 2\zeta U_k(\zeta) + U_{k-1}(\zeta) &= 0 \end{aligned} \right\} \quad (5)$$

$$\text{但 } T_k(-\zeta) = (-1)^k T_k(\zeta), \quad U_k(-\zeta) = (-1)^{k+1} U_k(\zeta) \quad (6)$$

이며 $T_0(\zeta) = 1, \quad T_1(\zeta) = \zeta, \quad U_0(\zeta) = 0, \quad U_1(\zeta) = 1$ 이다.

$$\left. \begin{aligned} T_k(\zeta) &= \cos(k \cos^{-1} \zeta) \\ U_k(\zeta) &= \frac{\sin(k \cos^{-1} \zeta)}{\sin(\cos^{-1} \zeta)} \end{aligned} \right\} \quad (7)$$

式(4)를 式(1)에 代入하여 實數部와 虛數部를 區分하면

$$\left. \begin{aligned} \text{實數部} &= \sum_{k=0}^m a_k \omega_n^k T_k(-\zeta) = 0 \\ \text{虛數部} &= \sum_{k=0}^m a_k \omega_n^k \sqrt{1 - \zeta^2} U_k(-\zeta) = 0 \end{aligned} \right\} \quad (8)$$

$$\sum_{k=0}^m a_k \omega_n^k U_k(-\zeta) = 0$$

$$\text{한편 } T_k(\zeta) = \zeta U_k(\zeta) - U_{k-1}(\zeta) \quad (9)$$

의 關係式이 成立하므로 (證明은 式(7)을 代入하여 보면 된다) 式(6) 및 (9)를 (8)式에 代入하면

$$\sum_{k=0}^m a_k \omega_n^k T_k(\zeta) = \sum_{k=0}^m (-1)^k a_k \omega_n^k T_k(\zeta)$$

$$= \sum_{k=0}^m (-1)^k a_k \omega_n^k [\zeta U_k(\zeta) - U_{k-1}(\zeta)]$$

$$= \sum_{k=0}^m (-1)^k a_k \omega_n^k \zeta^k U_k(\zeta) - \sum_{k=0}^m (-1)^k a_k \omega_n^k U_{k-1}(\zeta)$$

$$= 0$$

그런데 $\sum_{k=0}^m a_k \omega_n^k U_k(-\zeta) = \sum_{k=0}^m (-1)^{k+1} a_k \omega_n^k U_k(\zeta) = 0$ 이므로 다음 式을 얻을 수 있다.

$$\left. \begin{aligned} \sum_{k=0}^m (-1)^k a_k \omega_n^k U_{k-1}(\zeta) &= 0 \\ \sum_{k=0}^m (-1)^k a_k \omega_n^k U_k(\zeta) &= 0 \end{aligned} \right\} \quad \dots \dots \dots \quad (10)$$

式(10)에서 a_k 는 (2)式에서와 같이 α 와 β 의 函數인데 이것을 線型으로 考慮하여

$$a_k = b_k \alpha + c_k \beta + d_k \quad \dots \dots \dots \quad (11)$$

式(11)과 같다면 (10)式은 다음과 같이 된다.

$$\left. \begin{aligned} \alpha B_1(\omega_n, \zeta) + \beta C_1(\omega_n, \zeta) + D_1(\omega_n, \zeta) &= 0 \\ \alpha B_2(\omega_n, \zeta) + \beta C_2(\omega_n, \zeta) + D_2(\omega_n, \zeta) &= 0 \end{aligned} \right\} \quad \dots \dots \dots \quad (12)$$

$$\left. \begin{aligned} \text{但 } B_1(\omega_n, \zeta) &= \sum_{k=0}^m (-1)^k b_k \omega_n^k U_{k-1}(\zeta) \\ B_2(\omega_n, \zeta) &= \sum_{k=0}^m (-1)^k b_k \omega_n^k U_k(\zeta) \\ C_1(\omega_n, \zeta) &= \sum_{k=0}^m (-1)^k c_k \omega_n^k U_{k-1}(\zeta) \\ C_2(\omega_n, \zeta) &= \sum_{k=0}^m (-1)^k c_k \omega_n^k U_k(\zeta) \\ D_1(\omega_n, \zeta) &= \sum_{k=0}^m (-1)^k d_k \omega_n^k U_{k-1}(\zeta) \\ D_2(\omega_n, \zeta) &= \sum_{k=0}^m (-1)^k d_k \omega_n^k U_k(\zeta) \end{aligned} \right\} \quad \dots \dots \dots \quad (13)$$

(12)式을 α 와 β 에 對하여 풀면

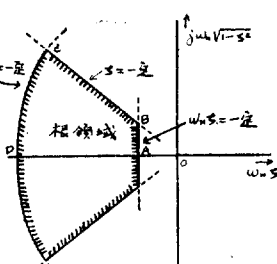
$$\alpha = \frac{C_1(\omega_n, \zeta) D_2(\omega_n, \zeta) - C_2(\omega_n, \zeta) D_1(\omega_n, \zeta)}{B_1(\omega_n, \zeta) C_2(\omega_n, \zeta) - B_2(\omega_n, \zeta) C_1(\omega_n, \zeta)}$$

$$\beta = \frac{B_2(\omega_n, \zeta) D_1(\omega_n, \zeta) - B_1(\omega_n, \zeta) D_2(\omega_n, \zeta)}{B_1(\omega_n, \zeta) C_2(\omega_n, \zeta) - B_2(\omega_n, \zeta) C_1(\omega_n, \zeta)} \quad \dots \dots \dots \quad (14)$$

(12)式, 또는 (14)式은 α, β 를 直交座標軸으로 하는 $\alpha\beta$ -Plane을 形成할 수 있으며 相對減衰係數 ζ , 無減衰振動數 ω_n 및 Settling Time $\omega_n \zeta$ 를 각각一定하게 하였을 때의 特性根에 關聯이 있는 軌跡을 Parameter plane $\alpha\beta$ 平面에 그림

그림 1.

수 있다. 이 曲線들 即 $\zeta = \text{一定}$ 인 曲線을 ζ -曲線, $\omega_n = \text{一定}$ 인 曲線을 ω_n -曲線, $\omega_n \zeta = \text{一定}$ 인 것을 $\omega_n \zeta$ 曲線이라고 말하여 이들 曲線은 S-Plane 上에서 $\zeta = \text{一定}$, $\omega_n = \text{一定}$, $\omega_n \zeta = \text{一定}$ 의 曲線에 각각 對應된다(그림 1 참조). ζ -曲線 및 ω_n -曲線은 각각 (13) 및 (14)式에서 $\zeta = \text{一}$



定值, $\omega_n = \text{一定}$ 值得 代入한 後에 ζ -曲線은 ω_n 를 $0 \rightarrow \infty$ 까지 變化시키므로써 얻을 수 있으며 ω_n -曲線은 ζ 를 0 에서 1 까지 變化시켜서 얻을 수 있다. $\omega_n \zeta$ -曲線을 얻기 為해서는 (13)式을 變形할 必要가 있다.

即 (4)式을 變形하면

$$S^k = P_k(\omega_n \zeta, \omega_n^2) + j \omega_n \sqrt{1 - \zeta^2} Q_k(\omega_n \zeta, \omega_n^2) \quad \dots \dots \dots \quad (15)$$

$$\left. \begin{aligned} \text{但 } P_k(\omega_n \zeta, \omega_n^2) &= \omega_n^k T_k(-\zeta) = (-1)^k \omega_n^k T_k(\zeta) \\ Q_k(\omega_n \zeta, \omega_n^2) &= \omega_n^{k-1} U_k(-\zeta) = (-1)^{k+1} \omega_n^{k-1} U_k(\zeta) \end{aligned} \right\} \quad \dots \dots \dots \quad (16)$$

$P_k(\omega_n \zeta, \omega_n^2)$ 및 $Q_k(\omega_n \zeta, \omega_n^2)$ 은 다음과 같은 循環式에 依하여 計算할 수 있다.

$$\left. \begin{aligned} P_{k+1}(\omega_n \zeta, \omega_n^2) + 2\omega_n \zeta P_k(\omega_n \zeta, \omega_n^2) \\ + \omega_n^2 P_{k-1}(\omega_n \zeta, \omega_n^2) &= 0 \\ Q_{k+1}(\omega_n \zeta, \omega_n^2) + 2\omega_n \zeta Q_k(\omega_n \zeta, \omega_n^2) \\ + \omega_n^2 Q_{k-1}(\omega_n \zeta, \omega_n^2) &= 0 \end{aligned} \right\} \quad \dots \dots \dots \quad (17)$$

但 $P_0(\omega_n \zeta, \omega_n^2) = 1$, $P_1(\omega_n \zeta, \omega_n^2) = -\omega_n \zeta$, $Q_0(\omega_n \zeta, \omega_n^2) = 0$ 및 $Q_1(\omega_n \zeta, \omega_n^2) = 1$ 이다.

$$\text{또한 } P_k(\omega_n \zeta, \omega_n^2) = -\omega_n \zeta Q_k(\omega_n \zeta, \omega_n^2) - \omega_n^2 Q_{k-1}(\omega_n \zeta, \omega_n^2) \quad \dots \dots \dots \quad (18)$$

式(18)에 依하여 式(10)을 얻은 것과 같은 方法으로

$$\left. \begin{aligned} \sum_{k=0}^m a_k Q_{k-1}(\omega_n \zeta, \omega_n^2) &= 0 \\ \sum_{k=0}^m a_k Q_k(\omega_n \zeta, \omega_n^2) &= 0 \end{aligned} \right\} \quad \dots \dots \dots \quad (19)$$

(19)式에 (11)式을 代入하여

$$\left. \begin{aligned} B_1(\omega_n \zeta, \omega_n^2) &= \sum_{k=0}^m b_k Q_{k-1}(\omega_n \zeta, \omega_n^2) \\ B_2(\omega_n \zeta, \omega_n^2) &= \sum_{k=0}^m b_k Q_k(\omega_n \zeta, \omega_n^2) \\ C_1(\omega_n \zeta, \omega_n^2) &= \sum_{k=0}^m c_k Q_{k-1}(\omega_n \zeta, \omega_n^2) \\ C_2(\omega_n \zeta, \omega_n^2) &= \sum_{k=0}^m c_k Q_k(\omega_n \zeta, \omega_n^2) \\ D_1(\omega_n \zeta, \omega_n^2) &= \sum_{k=0}^m d_k Q_{k-1}(\omega_n \zeta, \omega_n^2) \\ D_2(\omega_n \zeta, \omega_n^2) &= \sum_{k=0}^m d_k Q_k(\omega_n \zeta, \omega_n^2) \end{aligned} \right\} \quad \dots \dots \dots \quad (20)$$

式(20)에 $\omega_n \zeta = \text{一定}$ 值得 代入하고 (14)式에 依하여 ω_n 를 $0 \rightarrow \infty$ 까지 變化시키므로써 $\omega_n \zeta$ -曲線을 求할 수 있다.

그림 1에서 보는바와 같이 $\omega_n \zeta$ -曲線은 絶對安定線에 對應되며 ζ -曲線은 相對安定線에 對應된다. 이와같이 ζ -曲線, ω_n 曲線 및 $\omega_n \zeta$ 曲線으로 이루어지는 線을 通稱하여 Complex-root boundaries 라고 하며 이 外에 다른 曲線 即Real-root boundaries를 求하지 않으면 안된다.

만약 複素變數 S 를

$$S = -\sigma \quad \dots \dots \dots \quad (21)$$

라 할 때 σ 는 S-plane 上에서 實軸上의 一點을 나타낸

다. 그러나 이 점은 $\alpha\beta$ -Plane 上에서는 다음과 같이 $a_k = b_k\alpha + c_k\beta + d_k$ 처럼 線型일 때는 直線으로 表示된다. 即 (1)式은 $S = -\sigma$ 일 때

$$f(-\sigma) = \alpha \sum_{k=0}^m (-1)^k b_k \sigma^k + \beta \sum_{k=0}^m (-1)^k c_k \sigma^k + \sum_{k=0}^m (-1)^k d_k \sigma^k = 0 \quad \dots \dots \dots (22)$$

(22)式은 $\sigma = \text{constant}$ 이므로 $\alpha\beta$ -Plane 上에서는 直線이 된다. 이 直線을 Real-root boundaries 라고 稱한다.

以上과 같이 하여 (14)式과 (22)式에 依하여 S-Plane 上의 根領域을 $\alpha\beta$ -Plane 上의 領域(complex-root boundaries 와 Real-root boundaries 로 이루어지는 領域)으로 變換할 수 있다. 이와같은 Parameter plane 上에서 α 와 β 를 決定할 수 있으며 Stability Analysis 는勿論 Synthesis 에 더욱 그 效用價值가 있음을 發見할 것이다. 한편 S-plane 上에서 모든 特性根은 實軸에 對稱이므로 上部 根領域만을 $\alpha\beta$ -plane 上에 變換하면 됨을 알 수 있다.

3. 例 題

그림 2에서 보는 바와 같은 制御系를 考慮할 때 傳達函數가 다음과 같다면

$$\left. \begin{array}{l} G_1(s) = 2 \\ G_2(s) = \frac{0.2s^2 + 0.8s + 1}{k_2} \\ G_3(s) = \frac{1}{0.4s + 1} \\ G_4(s) = \frac{0.5k_4 s}{0.5s + 1} \end{array} \right\} \dots \dots \dots (23)$$

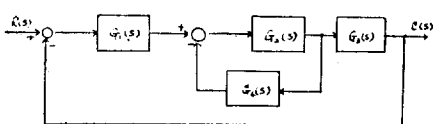


그림 2. 制 御 系

特性方程式은

$$f(s) = 0.04s^4 + 0.34s^3 + (0.2k_2 k_4 + 1.12)s^2 + (0.5k_2 k_4 + k_2 + 1.7)s + 2k_2 + 1 = 0 \quad \dots \dots \dots (24)$$

式(24)에서 k_2 와 k_4 의 決定에 있어서 이것을 그대로 未知數로 놓고서 다른 方法으로 安定性判別이나 또는 實時間應答을 求하기는 困難하다. 그러나 Parameter plane 方法으로 要求되는 過渡應答特性을 維持하면서勿論 그 系가 安定하고, 要求되는 諸特性에 滿足하는 範圍의 k_2 및 k_4 를 찾아내는 것은 容易한 일이다. 即 特性方程式 (24)가 過渡現象에 있어서 settling time 이 0.6sec~2.5 sec 內로 또한 overshoot 가 37% 以內로 그리고 settling time 까지의 過渡振動數가 $\frac{1}{2} \sim 2$ cycle 以內로 動作하기

에 必要한 k_2 및 k_4 를 求하여 본다. 이것은 그림 3에서 와 같이 S-plane 上의 特性根領域內에 (24)式의 모든 根이 包含됨을 意味하며 parameter plane($\alpha\beta$ -plane)上에서 complex root boundaries 는 $\omega\zeta$ -curve 가 $\omega_n\zeta = 1.2$ 일 때, ζ -curve 는 $\zeta = 0.3$ 일 때와 ω_n -curve 는 $\omega_n = 5$ 일 때의 各曲線에 對應되며 Real-root boundaries 는 $\sigma = 1.2$ 와 $\sigma = 5$ 的 두 直線에 對應된다. (24)式에서 $k_2 k_4 = \alpha$, $k_2 = \beta$ 라고 놓으면

$$f(s) = 0.04s^4 + 0.34s^3 + (0.2\alpha + 1.12)s^2 + (0.5\alpha + \beta + 1.7)s + 2\beta + 1 = 0 \quad \dots \dots \dots (25)$$

式(13)에 依하여

$$\left. \begin{array}{l} B_1 = \sum_{k=0}^4 (-1)^k b_k \omega_n^k U_{k-1}(\zeta) = +0.2\omega_n^2 \\ B_2 = \sum_{k=0}^4 (-1)^k b_k \omega_n^k U_k(\zeta) = -0.5\omega_n + 0.2\omega_n^2 U_2(\zeta) \\ C_1 = \sum_{k=0}^4 (-1)^k c_k \omega_n^k U_{k-1}(\zeta) = -2 \\ C_2 = \sum_{k=0}^4 (-1)^k c_k \omega_n^k U_k(\zeta) = -\omega_n \\ D_1 = \sum_{k=0}^4 (-1)^k d_k \omega_n^k U_{k-1}(\zeta) = 0.04\omega_n^4 U_3(\zeta) \\ \quad - 0.34\omega_n^3 U_2(\zeta) + 1.12\omega_n^2 U_1(\zeta) - 1 \\ D_2 = \sum_{k=0}^4 (-1)^k d_k \omega_n^k U_k(\zeta) = -0.04\omega_n^4 U_4(\zeta) \\ \quad - 0.34\omega_n^3 U_3(\zeta) \\ \quad + 1.12\omega_n^2 U_2(\zeta) - 1.7\omega_n U_1(\zeta) \end{array} \right\} \quad \dots \dots \dots (26)$$

式(5)에 依하여

$$\left. \begin{array}{l} U_1(\zeta) = 1, \quad U_2(\zeta) = 2\zeta, \quad U_3(\zeta) = 4\zeta^2 - 1, \\ U_4(\zeta) = 8\zeta^3 - 4\zeta \end{array} \right\} \quad \dots \dots \dots (27)$$

$\zeta = 0.3$ 일 때 $U_1(0.3) = 1$, $U_2(0.3) = 0.6$, $U_3(0.3) = -0.64$, $U_4(0.3) = -0.984$ 이므로 $\zeta = 0.3$ -curve 를 為한 α , β 에 對한 式은 (14)式에 (26)式 및 (27)式에 $\zeta = 0.3$ 을 代入한 $U_k(\zeta)$ 를 代入計算하면

$$\left. \begin{array}{l} \alpha = \frac{0.0256\omega_n^4 + 0.12528\omega_n^3 - 0.6848\omega_n^2 + 1.344\omega_n - 2.4}{0.2\omega_n^2 - 0.24\omega_n + 1} \\ \beta = \frac{-0.0048\omega_n^5 + 0.0552\omega_n^4 - 0.102\omega_n^3 + 0.22\omega_n^2 + 0.12\omega_n - 0.5}{0.2\omega_n^2 - 0.24\omega_n + 1} \end{array} \right\} \quad \dots \dots \dots (28)$$

(28)式에서 ω_n 를 0~5 까지 求하면 ω_n curve 와 만나게 되므로 充分하다. $\omega_n = 5$ 일 때의 ω_n 線은 (26)式에 (27)式을 代入하고 $\omega_n = 5$ 를 代入한 後에 (14)式에 代入하면

$$\left. \begin{array}{l} \alpha\omega_n = \frac{-400\zeta^3 + 840\zeta^2 - 337\zeta - 58}{20\zeta - 30} \\ \beta\omega_n = \frac{-250\zeta^2 + 12.5\zeta - 175}{20\zeta - 30} \end{array} \right\} \quad \dots \dots \dots (29)$$

(29)式에서 ζ 를 0.3~1.0 까지 變化시 키므로서 對應되

는 ω_n -曲線을 $\alpha\beta$ -plane 上에 그릴 수 있다. $\omega_n\zeta$ -曲線은 $\omega_n=1.2$ 일 때 (20)式 및 (14)式에 依하여式(30)과 같다.

$$\left. \begin{aligned} \alpha\omega_n\zeta &= \frac{-0.04\omega_n^4 - 0.2384\omega_n^2 + 0.16512}{0.2\omega_n^2 + 0.04} \\ \beta\omega_n\zeta &= \frac{-0.0288\omega_n^4 - 0.0728\omega_n^2 - 0.02}{0.2\omega_n^2 + 0.04} \end{aligned} \right\} \dots\dots\dots(30)$$

式(30)에서 ω_n 를 0~5 까지 變化시킬 때로서 settling time 이 一定한 曲線을 $\alpha\beta$ -plane 上에 對應시킬 수 있다. Real Root Boundry 는 (21)式 및 (22)式에 依하여 $\sigma=1.2$ 일때 및 $\sigma=5$ 일때의 것을 計算하면

$$\left. \begin{aligned} \sigma=1.2 \text{ 일때} & \quad -0.312\alpha + 0.8\beta + 0.068544 = 0 \\ \sigma=5 \text{ 일때} & \quad 2.5\alpha - 3\beta + 3 = 0 \end{aligned} \right\} \dots\dots\dots(31)$$

以上과 같이 (28), (29), (30) 및 (31)式에 依한 $\alpha\beta$ -plane 上의 Complex root boundary 및 Real root boundary는 그림 3에 作圖한 것과 같다.

特性方程式 (25)에 依한 特性根은 모두 4 個로서 이 4 個의 特性根이 그림 3의 $\alpha\beta$ -plane 上의 A'B'C'L'A' 内에

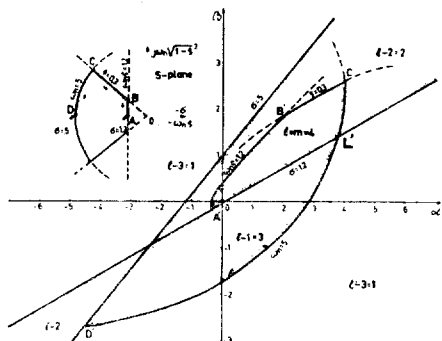


그림 3. Parameter plane

存在하는가 어떤가를 먼저 觀察할 必要가 있다. 이 判別은 널리 알려져 있는 Cauchy의 Argument Theorem에 依하여 行 할 수 있다. 特性方程式 式(1)을 vector form 으로 다시 쓰면

$$f(s) = f(\omega_n, \zeta) = \sum_{k=0}^m a_k \omega_n^k (-1)^{k+1} T_k(\zeta) + j\sqrt{1-\zeta^2} \sum_{k=0}^m a_k \omega_n^k (-1)^{k+1} U_k(\zeta) \dots\dots\dots(32)$$

$\alpha\beta$ -plane 上의 어느 領域에(例를 들면 그림 3의 A'B'C'L'A' 内에) 特性根이 몇 個 存在하는가를 判別하는 것은 (32)式에 그 주어진 ζ 의 特定值와 그 領域内에 存在하는 任意의 α, β 의 值을 代入하면 (32)式은 實數部와 虛數部가 ω_n 에 對하여 多項式이 된다. ω_n 를 0~ ∞ 까지 變化시킬 때 複素平面上에 對應하는 軌跡을 그려 넣어 그 軌跡이 反時計方向으로 $m\theta$ 만큼 回轉하면 그 領域内에 m 個의 特性根이 存在한다. 但 m 는 그 特性方程式의 特性根의 數이고

$$\theta = \pi - \cos^{-1}\zeta \dots\dots\dots(33)$$

이다.

特性方程式 (25)에 依한 特性根 4 個가 모두 A'B'C'L' A' 領域內에 있는가의 判別을 하기 為하여 $\zeta=0.3, \alpha=2$ 및 $\beta=1$ 을 代入 計算하면 式(25)는

$$f(s) = 0.04s^4 + 0.34s^3 + 1.52s^2 + 3.7s + 3 = 0 \dots\dots\dots(34)$$

$T_k(0.3)$ 및 $U_k(0.3)$ 을 表 1 및 表 2에서 찾아 式(32) 代入하면 式(35)와 같다.

$$\left. \begin{aligned} f(s) = f(\omega_n, 0.3) &= (3 - 1.11\omega_n - 1.2464\omega_n^2 \\ &\quad + 0.26928\omega_n^3 + 0.013792\omega_n^4) + j(0.954(3.7\omega_n \\ &\quad - 0.912\omega_n^2 - 0.2176\omega_n^3 + 0.03936\omega_n^4) \dots\dots\dots(35) \end{aligned} \right.$$

式(35)의 複素軌跡은 그림 4와 같으며 (33)式에 依하여 $\theta = \pi - \cos^{-1}0.3 = \pi - 72.5^\circ = 107.5^\circ$,

$m\theta = 4 \times 107.5^\circ = 430^\circ$ ی으로 特性根 4 個가 모두 A'B'C'L'A' 領域內 存在한다.

한편 그림 3에서 領域을 決定할 때는 式(14)

$$\begin{aligned} \Delta &= B_1(\omega_n, \zeta)C_2 \\ (\omega_n, \zeta) - B_2(\omega_n, \zeta)C_1(\omega_n, \zeta) \\ \dots\dots\dots(36) \end{aligned}$$

가 $\Delta > 0$ 일 때는 ω_n 가 增加하는 曲線方向에서

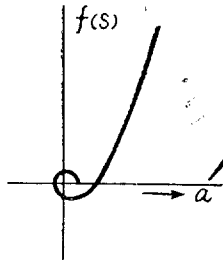


그림 4. $f(s)$ Plane

바 領域이며 $\Delta < 0$ 일 때는 右便이 그 領域이다. 그림 3의 A'B'C'L'A' 領域內에 特性根 4 個가 모두 存在하며 萬一 α 및 β 를 選擇할 때 點 (α, β) 가 Complex root boundary 를 넘을 때는 複素根 2 個가 同時に S-plane 上의 ABCD 領域에서 離脫하며 만일 Real root boundary 를 넘을 때는 實根 한 個가 離脫한다. 故로 앞에 要求된 實時間過渡特性이 Settling Time 2.5sec 以內, over shoot 37% 以內 및 過渡振動機 2cycle 以內에 安定되기 為하여서는 α 및 β 는 $\alpha\beta$ plane 上의 A'B'C'L'A' 領域內에 存在하여야 한다.

4. 後 記

以上의 例題에서 본바와 같이 特히 System Synthesis에 適當하여 詳細한 것을 願하시는 분을 為하여 參考文獻을 附記한다.

5. 參 考 文 獻

- 1) K. Steiglitz, "An Analytical Approach to Root Loci," IEEE, Transactions on Automatic Control, Vol. AC-6, No. 3, pp. 326~332, 1961.
- 2) V. Krishnan, "Semi-Analytic Approach to Root Loci," Ibid., Vol. AC-11, No. 1, pp. 1966.
- 3) D. Mitrovic, "Graphical Analysis and Synthesis of Feedback Control System," I-Theory and Analysis,

表 1

Functions $T_k(\zeta)$

ζ	T_0	T_1	T_2	T_3	T_4	T_5	T_6	T_7	T_8	T_9	T_{10}
0.00	0.00	-1.000	-0.000	-0.000	-0.000	-0.000	-0.000	-0.000	-0.000	-0.000	-0.000
0.05	0.05	-0.995	-0.1495	-0.98005	-0.347505	-0.9452995	-0.44203495	-0.901096005	-0.532145505	-0.84788154995	-0.53889274880
0.10	0.10	-0.980	-0.2960	-0.92080	-0.82405	-0.683715	-0.6189355	-0.8693565	-0.64511360	-0.695745280	-0.97683069115
0.15	0.15	-0.955	-0.4365	-0.82405	-0.845120	-0.3547520	-0.98702080	-0.040056320	-0.040056320	-0.040056320	-0.04284552880
0.20	0.20	-0.920	-0.5680	-0.69280	-0.720	-0.72275	-0.7822720	-0.52820240	-0.988889920	-0.532955360	-0.907241245
0.25	0.25	-0.875	-0.6875	-0.53125	-0.953125	-0.0546875	-0.98046875	-0.435546875	-0.782693125	-0.8168935125	-0.4224552880
0.30	0.30	-0.820	-0.7920	-0.34480	-0.998880	-0.9785	-0.84616320	-9.76225920	-0.3888726480	-0.99552250880	-0.97683069115
0.35	0.35	-0.755	-0.8785	-0.14005	-0.976535	-0.5435250	-0.59966785	-0.96071995	-0.076475465	-0.707241245	-0.97683069115
0.40	0.40	-0.680	-0.9440	-0.07520	-0.983840	-0.7822720	-0.52820240	-0.988889920	-0.532955360	-0.46234629120	-0.97683069115
0.45	0.45	-0.595	-0.9855	-0.29195	-0.722745	-0.9424205	-0.12543345	-0.8293530395	-0.8720108055	-0.04472067005	-0.97683069115
0.50	0.50	-0.500	-0.500	-0.500	-0.500	-0.500	-0.500	-0.500	-0.500	-0.500	-0.500
0.55	0.55	-0.55	-0.395	-0.9845	-0.227755	-0.9384905	-0.80457355	-0.053449595	-0.8633681045	-0.98625531995	-0.98849588880
0.60	0.60	-0.60	-0.280	-0.9360	-0.84320	-0.075840	-0.7521920	-0.9784040	-0.421972480	-0.4721034240	-0.98849588880
0.65	0.65	-0.65	-0.155	-0.8515	-0.9195	-0.386035	-0.4501045	-0.97117085	-0.812407605	-0.0849590365	-0.7019608755
0.70	0.70	-0.70	-0.020	-0.7280	-0.99920	-0.670880	-0.75483520	-0.996801280	-0.6406865920	-0.09984005120	-0.97683069115
0.75	0.75	-0.75	-0.125	-0.5625	-0.96875	-0.896625	-0.3671875	-0.339853275	-0.876953125	-0.536442578125	-0.97683069115
0.80	0.80	-0.80	-0.280	-0.3520	-0.84320	-0.997120	-0.7521920	-0.20638720	-0.421972480	-0.38815431680	-0.98849588880
0.85	0.85	-0.85	-0.445	-0.0935	-0.60395	-0.933215	-0.9825155	-0.73706135	-0.270488795	-0.272303985	-0.74178047245
0.90	0.90	-0.90	-0.620	-0.2160	-0.632160	-0.9066880	-0.99987840	-0.893093120	-0.60763892160	-0.20074746880	-0.97683069115
0.95	0.95	-0.95	-0.805	-0.5795	-0.29605	-0.017005	-0.32883595	-0.60687805	-0.824708795	-0.960586605	-0.39942165985
1.00	1.00	-1.000	-1.000	-1.000	-1.000	-1.000	-1.000	-1.000	-1.000	-1.000	-1.000

表 1

Functions $U_k(\zeta)$

ζ	U_1	U_0	U_1	U_2	U_3	U_4	U_5	U_6	U_7	U_8	U_9	U_{10}
0.00	0.00	-1.00	-0.000	-0.000	-0.000	-0.000	-0.000	-0.000	-0.000	-0.000	-0.000	-0.000
0.05	0.05	-0.99	-0.199	-0.9701	-0.29601	-0.940499	-0.3900599	-0.90149301	-0.532145505	-0.846518112	-0.480209201	-0.97683069115
0.10	0.10	-0.96	-0.392	-0.816	-0.56832	-0.767936	-0.767936	-0.62554546	-0.24401664	-0.92219494	-0.846518112	-0.97683069115
0.15	0.15	-0.91	-0.573	-0.781	-0.79443	-0.499771	-0.9443613	-0.203123	-0.9296875	-0.66796875	-0.595703125	-0.97683069115
0.20	0.20	-0.84	-0.736	-0.5456	-0.95424	-0.163904	-0.1948016	-0.9198016	-0.6785667	-0.6785667	-0.49010793	-0.97683069115
0.25	0.25	-0.75	-0.875	-0.3125	-1.03125	-0.203123	-0.203123	-0.9296875	-0.6785667	-0.6785667	-0.49010793	-0.97683069115
0.30	0.30	-0.64	-0.984	-0.096	-1.0376	-0.5585656	-0.6785656	-0.6785656	-0.6785656	-0.6785656	-0.49010793	-0.97683069115
0.35	0.35	-0.51	-1.057	-0.2299	-0.89607	-0.857149	-0.857149	-0.2960657	-1.0643949	-1.0643949	-0.49010793	-0.97683069115
0.40	0.40	-0.36	-1.088	-0.5104	-0.67968	-1.054144	-0.163652	-0.163652	-0.92323584	-0.92323584	-0.92323584	-0.97683069115
0.45	0.45	-0.19	-1.071	-0.7739	-0.37449	-1.10941	-0.6253569	-0.6253569	-0.54811979	-0.54811979	-1.18664711	-0.97683069115
0.50	0.50	-1.0	-0.00	-1.000	-0.000	-1.000	-1.000	-1.000	-1.000	-1.000	-1.000	-1.000
0.55	0.55	-1.1	-0.21	-0.869	-1.1659	-0.41349	-0.711061	-1.1956571	-0.60416181	-0.531079109	-0.189053982	-0.97683069115
0.60	0.60	-1.2	-0.44	-0.672	-1.2464	-0.82368	-0.257984	-1.1332608	-1.10192886	-1.10192886	-0.189053982	-0.97683069115
0.65	0.65	-1.3	-0.69	-0.403	-1.2139	-1.17507	-0.313691	-0.7672717	-1.31114421	-1.31114421	-0.937215773	-0.97683069115
0.70	0.70	-1.4	-0.96	-0.056	-1.0384	-1.39776	-0.918464	-0.111904	-1.07513886	-1.07513886	-1.393283584	-0.97683069115
0.75	0.75	-1.5	-0.25	-0.375	-0.6875	-1.40625	-1.421875	-0.7265625	-0.33203125	-0.224609375	-0.252071936	-0.97683069115
0.80	0.80	-1.6	-1.56	-0.896	-0.1264	-1.09824	-1.630784	-1.5110144	-0.78683904	-0.78683904	-0.252071936	-0.97683069115
0.85	0.85	-1.7	-1.89	-1.513	-0.6821	-0.35343	-1.282931	-1.8275527	-1.8275527	-1.8275527	-1.273091903	-0.97683069115
0.90	0.90	-1.8	-2.24	-2.32	-1.776	-0.96768	-0.03576	-1.0320768	-1.82196224	-1.82196224	-2.247455232	-0.97683069115
0.95	0.95	-1.9	-2.61	-3.059	-3.2921	-3.02499	-2.545381	-1.9112339	-0.8556341	-0.8556341	-1.06903421	-0.97683069115
1.00	1.00	-2.0	-3.00	-4.00	-5.000	-6.0000	-7.00000	-8.000000	-9.000000	-10.000000	-10.000000	-0.97683069115

- AIEE. Transactions, Part-II, Vol. 77, pp. 476~487, 1958.
- 4) D. Mitrovic, "Graphica Analysis and Synthesis of Feedback Control System," II-Synthesis, Ibid., pp. 487~496, 1958.
- 5) D. Mitrovic, "Graphical Analysis and Synthesis of Feedback Control System," III Sampled-Data Feedback Control Systems, Ibid., pp. 497~503, 1958.
- 6) D.D. Šiljak, "Generalization of Mitrovic's of Mitrovic's Method," IEE Transactions on Applications and Industry, Vol. 83, No. 74, pp. 314~320, 1964.
- 7) Choi, Keh Kun and et. al, "An Investigation of High Order Control System," Science and Engineering Report, Seoul National University, Collegege of Engineering, Vol. 1, No. 1, pp. 181~188, 1965.
- 8) D.D. Šiljak, "Analysis and Synthesis of Feedback Control Systems in The Parameter Plane," I-Linear Continuous Systems, IEEE Transaction on Applications and Industry, Vol. 83, No. 75, pp. 449~458, 1964.
- 9) D.D. Šiljak, "Analysis and Synthesis of Feedback Contol Systems in the Parameter Plane," II-Sampled-Data Systems, Ibid., pp. 458~466, 1964.
- 10) D.D. Šiljak, "Analysis and Synthesis of Feedback Control Systems in the Parameter Plane," III-Nonlinear Systems, Ibid., pp. 466~473, 1964.
- 11) D.D. Šiljak, "Generalization of the Parameter Plane Method," IEEE Transactions on Automatic Control, Vol. 11, No. 1, pp. , 1966.
- 12) M.R. Stojic and D.D. Šiljak, "Generalization of the Hurwitz, Nyquist, and Mikhailo Stability Criteria," Ibid., Vol. 10, No. 3, pp. 250~254, 1965.

(1966年9月3日接受)